



Proceedings

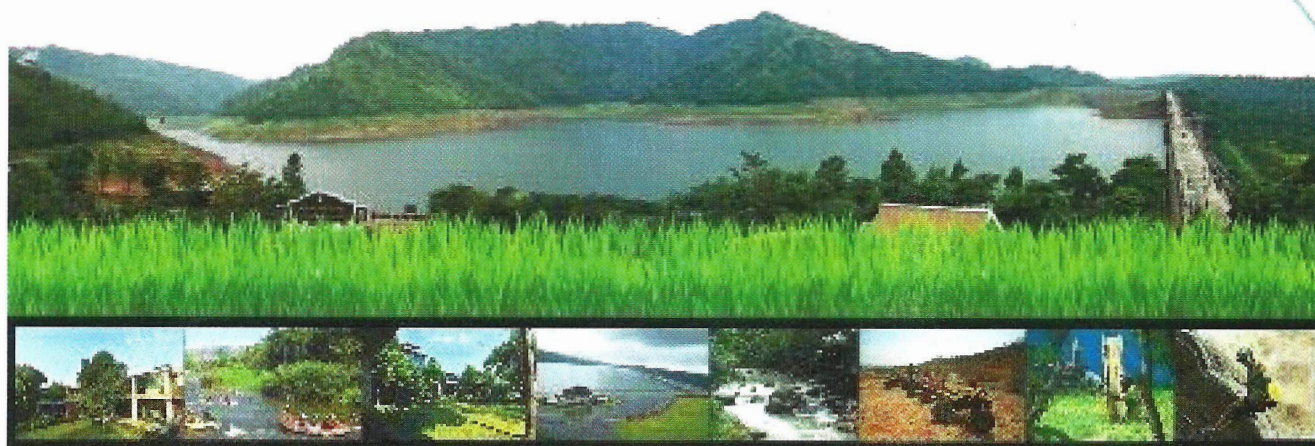
The 31st Conference

of Mechanical Engineering Network of Thailand

การประชุมวิชาการเครือข่ายวิศวกรรมเครื่องกลแห่งประเทศไทย ครั้งที่ 31

ระหว่างวันที่ 4 - 7 กรกฎาคม 2560

ณ โรงแรมภูเขางาม รีสอร์ท จ.นครนายก



- ETM-09..... 1141
 การวิเคราะห์ประสิทธิภาพของระบบผลิตแก๊สไฮโดรเจนที่ให้พลังงานด้วยระบบ PV/T
 บุญยฤทธิ์ ประสาทแก้ว^{1*} มานพ แยมแพง¹ และ อิศกฤตา โลหพรหม²
- ETM-10..... 1148
 อิทธิพลของห้องอากาศที่มีขนาดแตกต่างกันต่อประสิทธิภาพของเครื่องตะบันน้ำ
 ชิตพล คงศิลา^{1*}
- ETM-11..... 1155
 การเพิ่มค่า COP ของเครื่องปรับอากาศแบบแยกส่วนโดยใช้การระบายความร้อนด้วยอากาศ
 ร่วมกับการระเหยของน้ำ กรณีศึกษาตัวกลางจาก ไบบวบ เยื่อกระดาษ และแผงรังผึ้ง
 ยุทธชัย เกียวสันเทียะ¹
- ETM12
- ETM-13..... 1161
 การถ่ายเทความร้อนและความเสียหายในท่ออุณหอากาศพลังแสงอาทิตย์ด้วยการติดตั้งปีกโค้ง
 บนแผ่นดูดซับความร้อน
 โชติวุฒิ ประสพสุข¹, วิฑูรย์ ชิงถ้วยทอง¹, พงษ์เจต พรหมวงศ์², สุภาทิพย์ วิทยปิยานนท์³
 และ สมพล สกุลงหลง^{3*}
- ETM-14..... 1169
 อิทธิพลของแผ่นกันวางเอียงต่อสมรรถนะเชิงความร้อนภายในท่อสี่เหลี่ยมจัตุรัส
 นรินทร์ กุลนภาดล¹, สุรียา โชคเพิ่มพูน², พงษ์เจต พรหมวงศ์³, พิทักษ์ พร้อมไธสง⁴, ประทาน ศรีชัย⁵
 และ สมพล สกุลงหลง^{6*}
- ETM-15..... 1178
 พฤติกรรมความร้อนในท่อกลมที่มีการติดตั้งแผ่นปีกสี่เหลี่ยม
 ภาณุวัฒน์ หุ่นพงษ์¹, สุภัทรชัย สุวรรณพันธ์², ธีรพัฒน์ ชมภูคำ³, พงษ์เจต พรหมวงศ์⁴, และ สมพล
 สกุลงหลง^{5*}
- ETM-16..... 1187
 เครื่องอบแห้งลำไยเฉพาะเนื้อโดยใช้ไอน้ำร้อนยวดยิ่งที่ความดันต่ำ
 อารีย์ อัจฉริยวิริยะ^{1,2}, กอดขวัญ นามสงวน^{1,2*} และ ศิวะ อัจฉริยวิริยะ^{1,2}
- ETM-17..... 1194
 แนวทางการปรับปรุงเพื่อเพิ่มสมรรถนะของเครื่องอบแห้งลำไยเฉพาะเนื้อโดยใช้พลังงานชีวมวล
 ศิวะ อัจฉริยวิริยะ¹, จตุรพัคตร์ ปณณวลี¹ และ อารีย์ อัจฉริยวิริยะ^{1*}
- ETM-18..... 1201
 การศึกษาการพาความร้อนในท่อแลกเปลี่ยนความร้อนด้วยการใส่วงแหวน 5 เหลี่ยม
 นรินทร์ กุลนภาดล¹, พงษ์เจต พรหมวงศ์² และ วิฑูรย์ ชิงถ้วยทอง^{3*}
- ETM-19..... 1211
 การเพิ่มประสิทธิภาพของแผงโซลาร์เซลล์ โดยรูปแบบการวางแผงพาราโบลา
 อภิชน มุ่งชู^{1*}, สถิตพงศ์ เสงี่ยมศักดิ์¹, สุพัตรา บุไธสง¹



การศึกษาการพาความร้อนในท่อแลกเปลี่ยนความร้อนด้วยการใส่วงแหวน 5 เหลี่ยม
Study of Convection Heat Transfer in Heat Exchanger Tube with Pentagonal Ring
Inserts

นรินทร์ กลุณภาค¹, พงษ์เจต พรหมวงศ์² และ วิฑูรย์ ชิงถ้วยทอง^{3*}

¹ สาขาวิชาวิศวกรรมเครื่องกลยานยนต์ คณะเทคโนโลยีอุตสาหกรรม มหาวิทยาลัยราชภัฏราชนครินทร์
ถนนมรุพงษ์ อำเภอเมือง จังหวัดฉะเชิงเทรา 24000

² ภาควิชาวิศวกรรมเครื่องกล คณะวิศวกรรมศาสตร์ สถาบันเทคโนโลยีพระจอมเกล้าเจ้าคุณทหารลาดกระบัง
ถนนฉลองกรุง เขตลาดกระบัง กรุงเทพมหานคร 10520

³ สาขาวิชาเทคโนโลยีอุตสาหกรรม คณะเทคโนโลยีอุตสาหกรรม มหาวิทยาลัยราชภัฏเทพสตรี
ตำบลทะเลชุบศร อำเภอเมืองลพบุรี จังหวัดลพบุรี 15000

*ติดต่อ: witoon_9912@hotmail.com, 0-3642-2125, 0-3642-2610

บทคัดย่อ

บทความนี้ทำการศึกษาการถ่ายเทความร้อนและตัวประกอบเสียดทานในท่อกลมที่ติดตั้งวงแหวน 5 เหลี่ยมวางเอียงภายใต้เงื่อนไขพลาสิกซ์ความร้อนที่ผิวคงที่ โดยจัดวางวงแหวน 5 เหลี่ยม ที่มีอัตราส่วนการขวางการไหล (e/D , BR) เท่ากับ 0.20 วางเอียงทำมุมปะทะการไหล (α) = 45° ที่อัตราส่วนระยะห่างของแหวนต่อขนาดท่อ (P/D , PR) เท่ากับ 0.75, 1.0, 1.25, 1.5 และ 2.0 การทดสอบใช้ความเร็วของอากาศที่แสดงโดย เลขเรย์โนลด์ (Re) ในช่วง 5,000 ถึง 25,000 และได้ศึกษาผลของการถ่ายเทความร้อนในรูปของเลขนัสเซลท์ (Nu) และการสูญเสียความดันในรูปของตัวประกอบเสียดทาน (f) เปรียบเทียบกับท่อผิวเรียบ จากการศึกษาพบว่า การติดตั้งวงแหวน 5 เหลี่ยมสามารถเพิ่มสมรรถนะการถ่ายเทความร้อนได้ โดยพบว่าเมื่ออัตราส่วนระยะพิตซ์ลดลงมีผลให้มีการเพิ่มเลขนัสเซลท์และตัวประกอบเสียดทาน โดยท่อที่ติดตั้งวงแหวน 5 เหลี่ยมที่อัตราส่วนระยะพิตซ์ เท่ากับ 1.5 ให้ค่าสมรรถนะการเพิ่มการถ่ายเทความร้อนสูงที่สุด

คำหลัก: วงแหวน 5 เหลี่ยม, การถ่ายเทความร้อน, ตัวประกอบเสียดทาน, ตัวประกอบการเพิ่มการถ่ายเทความร้อน

Abstract

The paper presents the study of heat transfer and friction loss behaviors through a constant heat-fluxed tube fitted with inclined pentagonal rings. Measurements are carried out for the tube of blockage ratio (e/D , BR) = 0.2, attack angle (α) = 45° and pitch ratio (P/D , PR) = 0.75, 1.0, 1.25, 1.5 and 2.0. The flow rate is in terms of Reynolds numbers (Re) in the range of 5,000 – 25,000. The experimental results of heat transfer and pressure lose presented in term of Nusselt number and friction factor are compared between the inserted and the smooth tubes. It is found that the PR provide the significant effect on the thermal performance of the test tube. The decrease of the pitch ratio leads to an increase in the Nusselt number and friction factor. The results reveal that the $PR = 1.5$ provide the highest the thermal enhancement factor

Keywords: pentagonal rings, heat transfer, friction factor, thermal enhancement factor



1. บทนำ

เครื่องแลกเปลี่ยนความร้อนมีการถูกนำมาใช้กันอย่างแพร่หลายทั้งในชีวิตประจำวัน และในงานอุตสาหกรรมเพื่อใช้ในกระบวนการด้านความร้อน เช่น กระบวนการเผาไหม้ กระบวนการทำความเย็นกระบวนการแลกเปลี่ยนทางความร้อน เป็นต้น ซึ่งเป็นอุปกรณ์ที่มีบทบาทสำคัญที่จะช่วยให้กระบวนการแลกเปลี่ยนความร้อนมีประสิทธิภาพ โดยการพัฒนาการเพิ่มการถ่ายเทความร้อนของเครื่องแลกเปลี่ยนความร้อน จะเป็นการช่วยให้เกิดผลประหยัดพลังงานและต้นทุนการผลิต ดังนั้นในช่วงทศวรรษที่ผ่านมาได้มีความพยายามในการศึกษาวิจัยเกี่ยวกับการเพิ่มการถ่ายเทความร้อนด้วยวิธีการแบบต่างๆ โดยเทคนิคในการเพิ่มการถ่ายเทความร้อนของเครื่องแลกเปลี่ยนความร้อนสามารถแบ่งได้ 2 วิธีการ คือ วิธีการแบบ Active เป็นวิธีที่ต้องใช้พลังงานจากภายนอกเข้ามาช่วยในการเพิ่มการถ่ายเทความร้อน เช่นการสั่นสะเทือนใช้คลื่นเสียง เป็นต้น และ วิธีการแบบ Passive ซึ่งเป็นวิธีที่ไม่ต้องใช้พลังงานจากภายนอกเข้ามาช่วยในการเพิ่มการถ่ายเทความร้อนโดยเป็นวิธีที่นักวิจัยจำนวนมากได้ทำการศึกษา ในรูปแบบพื้นผิวแลกเปลี่ยนความร้อนที่หลากหลาย ดังนี้

Han และคณะ [1] ทำการศึกษาผลของรูปร่างครีบบวมครีบ และอัตราส่วนระยะพิชิตต่อความสูง มีผลต่อตัวประกอบเสียดทาน และการถ่ายเทความร้อนในท่อที่มีครีบบวมครีบติดบนผิวท่อที่อยู่ตรงกันข้ามกับการให้ความร้อน ที่ค่าเลขเรย์โนลด์ 3,000 ถึง 30,000 พบว่าการจัดครีบบวมครีบมีผลเหมือนกับการจัดครีบบวมเยื้องกัน และรูปร่างของครีบบวมครีบมีผลอย่างมากต่อตัวประกอบเสียดทาน และมีผลต่อการถ่ายเทความร้อนไม่มากนัก จากผลการทดลองพบว่า การถ่ายเทความร้อนมากที่สุดที่ครีบบวม 45°

Wojtkowiak and Hyun [2] จำลองการถ่ายเทความร้อน ในช่วงการไหลแบบราบเรียบในท่อโดยใส่แผ่น

จานตามแนวแกน (coaxial-disk) ซึ่งสามารถหมุนได้เข้าไปในท่อ โดยปรับขนาดของแผ่นจาน ตามอัตราส่วนรัศมีของแผ่นจานต่อรัศมีท่อเป็น 0.9, 0.95 และ 0.99 ซึ่งแผ่นจานนี้จะพิจารณาให้สามารถมีการหมุนได้เป็นเลขเรย์โนลด์ การหมุน คือ 0, 250, 500 และ 1,000 ซึ่งพบว่า ความเร็วในการหมุนของแผ่นจานจะมีผลต่ออัตราการถ่ายเทความร้อน นั่นคือยิ่งความเร็วมากขึ้น อัตราการถ่ายเทความร้อนจะมากขึ้นด้วย และในทุกกรณีจะทำให้เกิดการไหลแบบหมุนวนจะทำให้มีการถ่ายเทความร้อนได้มากขึ้น แต่แผ่นจานที่มีขนาดใหญ่จะทำให้เกิดการสูญเสียความดันมากกว่า

Promvong and Eiamsa-ard [3] ได้ทำการศึกษากการถ่ายเทความร้อนในท่อกลมที่มีการใส่ตัวสร้างความปั่นป่วนแบบแหวนกรวย(conical-ring) ในการทดลองได้แบ่งเป็น 2 แบบคือ ใช้ตัวสร้างความปั่นป่วนแบบแหวนกรวยที่จัดวางแบบลู่ออก (D-nozzle arrangement) และแบบแหวนกรวยที่จัดวางแบบลู่เข้า (C-nozzle arrangement) นำมาใส่ในท่อทดลอง ซึ่งการทดสอบจะอยู่ในช่วงเลขเรย์โนลด์ 8,000 ถึง 18,000 วางแหวนกรวยที่มีอัตราส่วนระยะพิชิตต่างๆ กัน คือ 2, 4 และ 7 พบว่าเมื่อเลขเรย์โนลด์เพิ่มขึ้นจะเพิ่มการถ่ายเทความร้อนได้ แหวนกรวยแบบลู่ออกจะสร้างความปั่นป่วนได้มากกว่าแหวนกรวยแบบลู่เข้าเป็นผลให้มีอัตราการถ่ายเทความร้อนที่สูงกว่า ในขณะที่เดียวกันก็เป็นผลให้ค่าตัวประกอบเสียดทานมากกว่าเช่นกัน แต่ทั้งสองแบบก็ยิ่งให้การเพิ่มการถ่ายเทความร้อนที่มากกว่าท่อผิวเรียบ ในช่วง 236 – 344% ขึ้นอยู่กับเลขเรย์โนลด์และการจัดวางตัวสร้างความปั่นป่วน

Promvong และ คณะ [4] ศึกษาการเพิ่มประสิทธิภาพการถ่ายเทความร้อนโดยใช้วงแหวนวางเอียงในท่อเครื่องแลกเปลี่ยนความร้อน โดยศึกษาการวางเอียงที่มุม 30° ที่อัตราส่วนการวางการไหล (BR) 0.1, 0.15 และ 0.2 ทดลองในช่วงเลขเรย์โนลด์ 5,000 – 26,000 พบว่าที่อัตราส่วนการวางการไหล ที่สูงจะทำให้เกิดวอร์เทกที่รุนแรงเป็นผลให้มีการถ่ายเทความร้อนสูงขึ้น แต่



จะทำให้เกิดความเสียหายที่สูงขึ้นเช่นกัน โดยที่อัตราส่วนระยะพิทช์ 0.5 และอัตราส่วนระยะพิทช์ 1.0 จะให้ค่าสมรรถนะความร้อนที่สูงที่สุด

Chingtuaythong และคณะ [5] ใช้วงแหวนรูปตัววี (V-shaped ring) ในการเพิ่มการถ่ายเทความร้อนในท่อเครื่องแลกเปลี่ยนความร้อน โดยศึกษาอิทธิพลของอัตราส่วนระยะพิทช์ 0.5, 1.0, 1.5 และ 2.0 และอัตราส่วนการขวางการไหลที่ 0.1, 0.15 และ 0.2 พบว่าวงแหวนดังกล่าวสามารถเพิ่มอัตราการถ่ายเทความร้อนได้ โดยการทำให้เกิดการไหลแบบวอร์เท็กซ์ด้านหลังของวงแหวน ซึ่งสามารถเพิ่มตัวประกอบการเพิ่มการถ่ายเทความร้อนได้ถึง 1.63 ในช่วงที่มีค่าเลขเรย์โนลด์ต่ำ

เมื่อทำการศึกษาควบคู่กับการใช้อุปกรณ์สร้างความปั่นป่วนในท่อแลกเปลี่ยนความร้อนหน้าตัดอื่นๆ เช่น ท่อหน้าตัดรูปทรงสี่เหลี่ยมจัตุรัส [6] และท่อหน้าตัดรูปทรงสี่เหลี่ยมผืนผ้า [7] พบว่าอุปกรณ์สร้างความปั่นป่วนที่ได้รับความนิยมและให้ผลลัพธ์ที่ดีนั้นคือการใช้ครีบบีกและแผ่นกัน โดยศึกษาถึงลักษณะรูปแบบต่างๆ ระยะการจัดวาง เป็นต้น แต่การศึกษาเชิงทดลองที่ใช้แผ่นกัน สำหรับเป็นอุปกรณ์สร้างความปั่นป่วนภายในท่อหน้าตัดกลมยังมีอยู่ในปริมาณน้อย งานวิจัยฉบับนี้จึงได้นำแนวคิดการประยุกต์ติดตั้งวงแหวน 5 เหลี่ยมมาเป็นอุปกรณ์สร้างความปั่นป่วนของการไหลภายในท่อหน้าตัดกลม ที่อัตราส่วนการขวางการไหล ($BR = e/D$) เป็น 0.2 และอัตราส่วนระยะพิทช์ ($PR = P/D$) เป็น 0.75, 1.0, 1.25, 1.5 และ 2.0 โดยทำการปรับเปลี่ยนอัตราการไหลของอากาศ ซึ่งแสดงในรูปแบบของเลขเรย์โนลด์ (Re) อยู่ในช่วงระหว่าง 5,000–25,000 ภายใต้เงื่อนไขของฟลักซ์ความร้อนที่ให้กับผนังของท่อทดลองคงที่ ในส่วนของผลการทดลองได้นำเสนอในรูปแบบของเลขนัสเซลท์ (Nu) และตัวประกอบความเสียหาย (f) สำหรับลักษณะของการถ่ายเทความร้อนและลักษณะของความดันตกคร่อมตามลำดับ โดยมีวัตถุประสงค์เพื่อศึกษาการเพิ่มการถ่ายเทความร้อนใน

กรณีที่มีการใส่วงแหวน 5 เหลี่ยมที่มีอัตราส่วนการขวางการไหล 0.2 และศึกษาผลของการเปลี่ยนแปลงอัตราส่วนระยะพิทช์ของการวางวงแหวน 5 เหลี่ยมในท่อ

2. ทฤษฎีและการวิเคราะห์ข้อมูล

งานวิจัยนี้หาสมรรถนะการถ่ายเทความร้อนภายในท่อหน้าตัดวงกลมในรูปของเลขนัสเซลท์ โดยเลขเรย์โนลด์ในรูปของเส้นผ่านศูนย์กลาง (D) สามารถเขียนได้เป็น

$$Re = UD / \nu \quad (1)$$

เมื่อ U และ ν เป็นความเร็วเฉลี่ยและความหนืดเชิงจลน์ของอากาศตามลำดับ

สัมประสิทธิ์การพาความร้อนเฉลี่ย (h) หาค่าได้จากการวัดอุณหภูมิและความร้อนที่ป้อนเข้าระบบความร้อนที่ให้กับอากาศ (Q_{air}) และความแตกต่างของอุณหภูมิผนังกับอุณหภูมิก๊าซ ($T_w - T_b$), สัมประสิทธิ์การพาความร้อนเฉลี่ยหาได้จากข้อมูลทดลองดังสมการ

$$Q_{air} = Q_{conv} = \dot{m} C_p (T_o - T_i) \quad (2)$$

$$h = \frac{Q_{conv}}{A(T_s - T_b)} \quad (3)$$

โดยที่ $T_b = (T_o - T_i) / 2 \quad (4)$

และ $\bar{T}_s = \sum T_s / 28 \quad (5)$

เมื่อ A คือ พื้นที่การถ่ายเทความร้อนแบบการพาของผนังที่ถูกให้ความร้อนของท่อหน้าตัดกลม \bar{T}_s คือ อุณหภูมิผิวเฉลี่ยที่ได้จากอุณหภูมิผิวในแต่ละจุด (T_s) ตามแนวยาวของท่อหน้าตัดกลม, T_i , T_o คือ อุณหภูมิทางเข้าและทางออกตามลำดับ \dot{m} และ C_p คือ อัตราการไหล



เชิงมวลของอากาศและค่าความจุความร้อนจำเพาะของอากาศ ตามลำดับ เลขนัสเซลท์เฉลี่ย (Nu) เขียนได้เป็น

$$Nu = \frac{hD}{k} \quad (6)$$

ตัวประกอบเสียดทาน (f) หาได้จาก

$$f = \frac{2\Delta P}{(L/D_h)(\rho U^2)} \quad (7)$$

เมื่อ ΔP คือ ค่าความดันตกคร่อม และ ρ คือ ความหนาแน่นของของไหล คุณสมบัติทางกายภาพของอากาศ ถูกกำหนดที่อุณหภูมิของไหลเฉลี่ย T_b จากสมการ (4)

ค่าประสิทธิภาพทางความร้อนของการใส่วงแหวนภายในท่อแสดงในรูปของตัวประกอบการเพิ่มการถ่ายเทความร้อน (Thermal Enhancement Factor, TEF) นิยามโดยค่าอัตราส่วนของเลขนัสเซลท์ต่อค่าอัตราส่วนตัวประกอบเสียดทาน ที่ได้จากการทดลองที่กำลังขับเดียวกัน สามารถหาได้จากข้อเสนอแนะของ Webb [8]

$$TEF = \frac{h}{h_0} \bigg|_{pp} = \frac{Nu}{Nu_0} \bigg|_{pp} = \left(\frac{Nu}{Nu_0} \right) \left(\frac{f}{f_0} \right)^{1/3} \quad (8)$$

3. การติดตั้งอุปกรณ์และวิธีการทดลอง

อุปกรณ์สำหรับการทดสอบการเพิ่มค่าการถ่ายเทความร้อนประกอบด้วยอุปกรณ์ต่างๆ ดังรูปที่ 1 โดยใช้ท่อทดสอบเป็นท่อทองแดงขนาดเส้นผ่านศูนย์กลางภายใน (D_i) 50 มิลลิเมตร หนา (t) 1 มิลลิเมตร ยาว (L) 4,000 มิลลิเมตร และในช่วงการทดสอบความยาว 2,000 มิลลิเมตร ทำการติดตั้งฮีตเตอร์รีดท่อ (Band Heater) ขนาด 3,000 วัตต์ ไว้ที่ผิวท่อทดสอบพร้อมทั้งมีการหุ้มฉนวนกันความร้อนถ่ายเทออกสู่บรรยากาศ ทำการติดตั้งอุปกรณ์วัดอุณหภูมิผิวท่อโดยใช้หัววัด

แบบเทอร์โมคัปเปิลชนิด K จำนวน 28 จุดตลอดความยาวท่อทดสอบ โดยตำแหน่งการติดตั้งมีระยะห่าง 75 มิลลิเมตร รวมทั้งติดตั้งอุปกรณ์วัดอุณหภูมิแบบ RTD Pt100

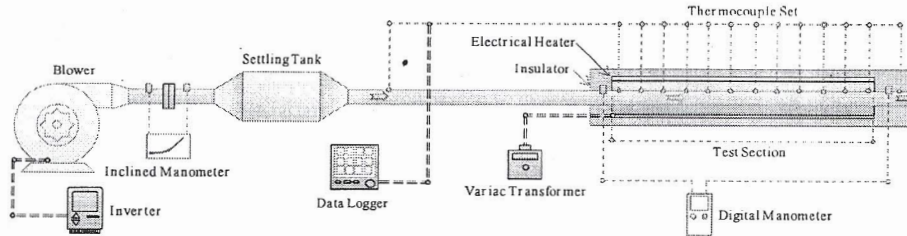
เพื่อวัดอุณหภูมิของอากาศที่ทางเข้า-ออกของท่อทดสอบจำนวน 2 จุดวัด บันทึกข้อมูลอุณหภูมิในคอมพิวเตอร์ พร้อมทั้งติดตั้งชุดวัดความดันลระหว่างช่วงทดสอบ โดยใช้เครื่องมือวัดเครื่องวัดความดันตกคร่อม การปรับค่าอัตราการไหลของอากาศใช้การปรับความเร็วรอบมอเตอร์พัดลมโดยใช้อินเวอร์เตอร์ผ่านอุปกรณ์วัดอัตราการไหลของอากาศชนิดออร์ฟิส

ชิ้นงานที่ใช้ใส่ในท่อทดสอบทำจากแผ่นอะคริลิก หนา 2 มิลลิเมตร ลักษณะวงนอกเป็นรูปวงแหวน 5 เหลี่ยม ด้านในเป็นรูปวงรี วางทำมุมปะทะกับทิศทางการไหลของอากาศที่เข้ามา 45° โดยวงแหวน 5 เหลี่ยม มีอัตราส่วนการขวางการไหล (Blockage ratio, BR) หรืออัตราส่วนระหว่างความสูงวงแหวนกับขนาดท่อ เท่ากับ 0.2 และมีค่าอัตราส่วนระยะพิทช์ (Pitch ratio, PR) 0.75, 1.0, 1.25, 1.5 และ 2.0 ตามลำดับ ดังรูปที่ 2 โดยทำการทดลองตามเงื่อนไขในตารางที่ 1

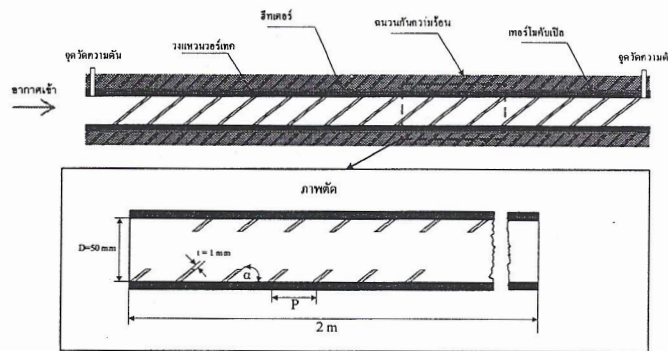
ตารางที่ 1 เงื่อนไขในการทดลอง

ของไหล	อากาศ
เลขเรย์โนลด์	5,000 – 25,000
เส้นผ่านศูนย์กลางของท่อทดลอง	50 mm
อัตราส่วนการด้าน, BR	0.20 (e=10 mm)
มุมปะทะ, α	45°
อัตราส่วนระยะพิทช์, PR	0.75, 1.0, 1.25, 1.5 และ 2.0

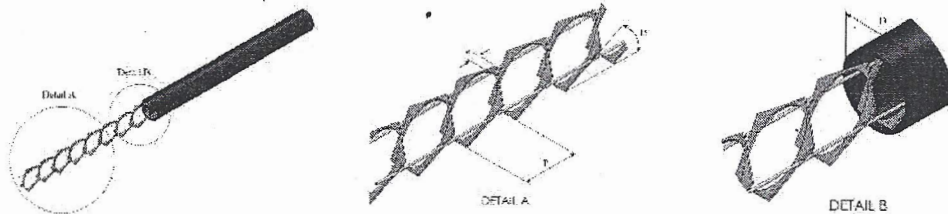
รูปที่ 3 แสดงลักษณะของการใส่วงแหวน 5 เหลี่ยม เข้าไปภายในท่อทดสอบ โดยภาพ (A) แสดงตัวแปรที่เกี่ยวข้องกับชิ้นงานวงแหวน 5 เหลี่ยม และภาพ (B) แสดงลักษณะการใส่วงแหวนและการวางภายในท่อทดสอบ



รูปที่ 1 ชุดทดสอบเครื่องแลกเปลี่ยนความร้อน



รูปที่ 2 การติดตั้งวงแหวน 5 เหลี่ยมเอียงในท่อทดสอบ



รูปที่ 3 วงแหวน 5 เหลี่ยมวางเอียง และลักษณะการวางภายในท่อ

4. ผลการทดลองและการอภิปรายผล

4.1 การทวนสอบท่อผิวเรียบ

การทดสอบเพื่อหาอัตราการถ่ายเทความร้อนและการสูญเสียความดัน จะแสดงในรูปของตัวแปรไร้มิติ คือ เลขนัสเซลท์และตัวประกอบเสียดทาน ตามลำดับ ซึ่งการทวนสอบชุดทดลองสำหรับท่อผิวเรียบนั้น จะมีการทดสอบและเปรียบเทียบกับสหสัมพันธ์ที่เป็นที่ยอมรับ โดยอัตราการถ่ายเทความร้อนแสดงในรูปของเลขนัสเซลท์และเปรียบเทียบกับสหสัมพันธ์ของ Gnielinski ส่วนการสูญเสียความดันแสดงในรูปของตัว

ประกอบเสียดทานและเปรียบเทียบกับสหสัมพันธ์ของ Petukhov ในช่วงการไหลแบบปั่นป่วน [9] โดยสมการทั้ง 2 แสดงในสมการที่ (9) และ (10) ตามลำดับ สหสัมพันธ์ของ Gnielinski,

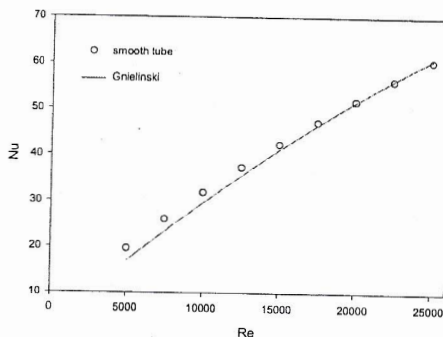
$$Nu = \frac{(f/8)(Re-1000)Pr}{1 + 12.7(f/8)^{1/2}(Pr^{2/3} - 1)} \quad (9)$$



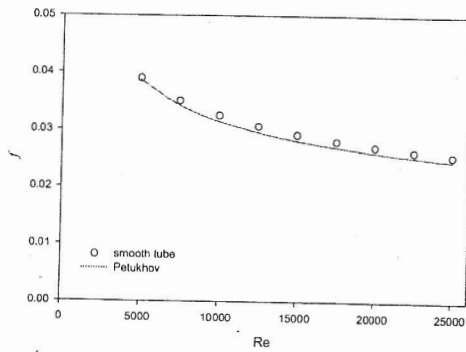
สหสัมพันธ์ของ Petukhov

$$f = (0.790 \ln Re - 1.64)^{-2} \quad (10)$$

จากการทดลองท่อผิวเรียบเพื่อเปรียบเทียบกับสหสัมพันธ์ดังกล่าว แสดงในรูปที่ 4 และ 5 ความสัมพันธ์ระหว่างเลขเรย์โนลด์ ในช่วงการไหลแบบปั่นป่วนคือ 5,000 - 25,000 พบว่าเลขนัสเซลท์ของท่อทดสอบมีค่าใกล้เคียงกับสหสัมพันธ์จาก สมการที่ (9) โดยมีค่าความคลาดเคลื่อนเฉลี่ย $\pm 5\%$ แสดงในรูปที่ 4 และความสัมพันธ์ระหว่างเลขเรย์โนลด์ กับตัวประกอบเสียดทาน พบว่าตัวประกอบเสียดทานท่อทดสอบมีค่าใกล้เคียงกับสหสัมพันธ์จากสมการที่ (10) มีค่าความคลาดเคลื่อนเฉลี่ยในช่วง $\pm 6\%$ ซึ่งถือว่าเป็นช่วงที่ยอมรับได้ของชุดทดสอบท่อเครื่องแลกเปลี่ยนความร้อนที่ได้สร้างขึ้น



รูปที่ 4 ความสัมพันธ์ระหว่างเลขเรย์โนลด์กับตัวประกอบเสียดทานในกรณีท่อผิวเรียบ

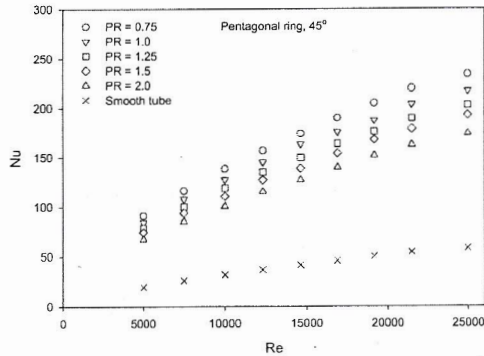


รูปที่ 5 ความสัมพันธ์ระหว่างเลขเรย์โนลด์กับตัวประกอบเสียดทานในกรณีท่อผิวเรียบ

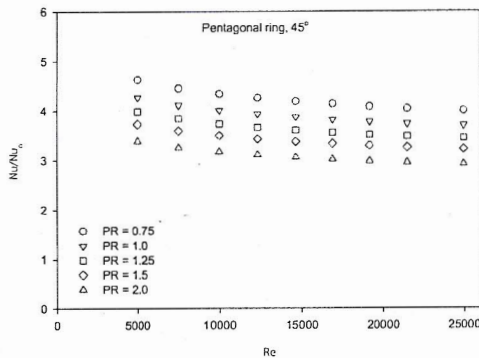
4.2 การถ่ายเทความร้อน

รูปที่ 6 แสดงความสัมพันธ์ระหว่างเลขเรย์โนลด์กับเลขนัสเซลท์ ของท่อแลกเปลี่ยนความร้อนที่ใส่วงแหวน 5 เหลี่ยมเอียงเทียบกับท่อผิวเรียบ จากการทดลองพบว่าการใส่วงแหวน 5 เหลี่ยมเอียงมุมปะทะการไหล 45° อัตราส่วนการขวางการไหล 2.0 ที่มีอัตราส่วนระยะพิตช์ เท่ากับ 0.75, 1.0, 1.25, 1.5 และ 2.0 ทุกกรณีสามารถเพิ่มการถ่ายเทความร้อนให้สูงขึ้นเมื่อเทียบกับท่อผิวเรียบ โดยลักษณะของเส้นกราฟพบว่าเลขนัสเซลท์มีค่าเพิ่มขึ้นเมื่อเลขเรย์โนลด์เพิ่มขึ้น โดยกรณีที่อัตราส่วนระยะพิตช์น้อยจะให้ค่าเลขนัสเซลท์ที่สูงกว่าอัตราส่วนระยะพิตช์มาก เนื่องจากมีจำนวนวงแหวนที่มากกว่า เป็นการเพิ่มพื้นที่ทำให้เกิดการปั่นป่วนบริเวณชั้นขีดผิวความร้อนอย่างต่อเนื่องจากผลของการไหลแบบวอร์เทค ส่งผลให้มีการเพิ่มการถ่ายเทความร้อนได้มากกว่า

รูปที่ 7 แสดงอัตราส่วนเลขนัสเซลท์กรณีใส่วงแหวน 5 เหลี่ยมวางเอียงกับกรณีท่อผิวเรียบ พบว่าอัตราส่วนเลขนัสเซลท์มีค่าในช่วง 3.9 - 4.6, 3.7 - 4.3, 3.4 - 4.0, 3.2 - 3.7 และ 2.9 - 3.4 เท่า ที่อัตราส่วนระยะพิตช์ 0.75, 1.0, 1.25, 1.5 และ 2.0 ตามลำดับ



รูปที่ 6 ความสัมพันธ์ระหว่างเลขเรย์โนลด์กับเลขนัสเซลล์

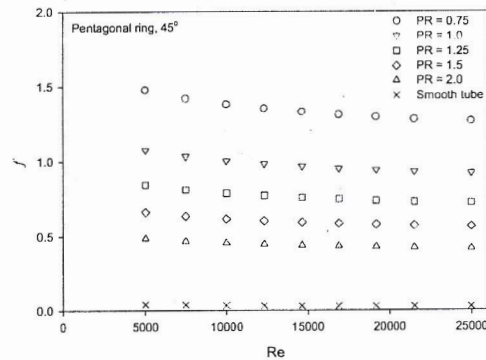


รูปที่ 7 ความสัมพันธ์ระหว่างเลขเรย์โนลด์กับอัตราส่วนเลขนัสเซลล์

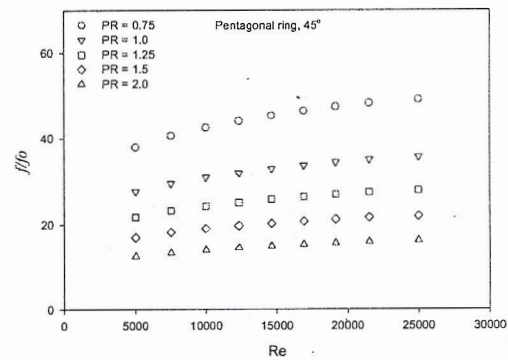
4.3 การสูญเสียความดัน

รูปที่ 8 แสดงความสัมพันธ์ระหว่างเลขเรย์โนลด์และตัวประกอบเสียดทาน พบว่าแนวโน้มตัวประกอบเสียดทานมีค่าลดลงเล็กน้อยเมื่อเลขเรย์โนลด์เพิ่มขึ้น โดยอัตราส่วนระยะพิตซ์น้อย PR = 0.75 มีตัวประกอบเสียดทานมากที่สุด และลดลงเมื่อมีอัตราส่วนระยะพิตซ์เพิ่มขึ้น เนื่องจากที่อัตราส่วนระยะพิตซ์น้อยจะมีจำนวนวงแหวนมากทำให้มีการต้านการไหลมาก โดยที่ PR = 0.75 ให้ค่าอัตราส่วนตัวประกอบเสียดทานสูงสุดถึง 49 เท่า เมื่อเทียบกับท่อผิวเรียบในกรณีที่เลขเรย์โนลด์ 25,000 และจะมีค่าสูงกว่ากรณีอื่นมาก เนื่องจากการมีวงแหวน 5 เหลี่ยมวางเรียงจำนวนมากจะไปขวางการไหลของอากาศทำให้มีพื้นที่ในการปะทะการไหลมาก

รูปที่ 9 แสดงอัตราส่วนตัวประกอบเสียดทานซึ่งเป็นการเทียบตัวประกอบเสียดทานกรณีใส่วงแหวน 5 เหลี่ยมกับกรณีท่อผิวเรียบ พบว่ามีค่าในช่วง 38.9-48.8, 35.6-27.7, 21.7-27.9, 17.0-21.9 และ 12.6-16.2 ที่อัตราส่วนระยะพิตซ์ 0.75, 1.0, 1.25, 1.5 และ 2.0 ตามลำดับ



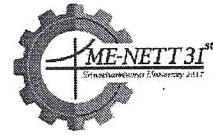
รูปที่ 8 ความสัมพันธ์ระหว่างเลขเรย์โนลด์กับตัวประกอบเสียดทาน



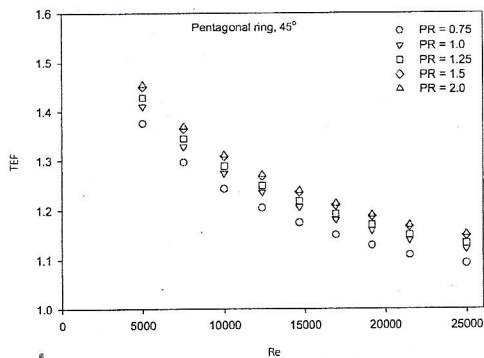
รูปที่ 9 ความสัมพันธ์ระหว่างเลขเรย์โนลด์กับอัตราส่วนตัวประกอบเสียดทาน

4.4 ตัวประกอบการเพิ่มการถ่ายเทความร้อน

รูปที่ 10 แสดงความสัมพันธ์ระหว่างเลขเรย์โนลด์ กับตัวประกอบการเพิ่มการถ่ายเทความร้อน ซึ่งพิจารณาจากการถ่ายเทความร้อนกับการสูญเสียความดัน พบว่าเมื่อใส่วงแหวนภายในท่อแลกเปลี่ยนความร้อนซึ่ง



สามารถเพิ่มค่าการถ่ายเทความร้อนให้สูงขึ้นแต่จะส่งผลให้ค่าตัวประกอบเสียดทานเพิ่มขึ้นสูงเช่นเดียวกัน โดยเมื่อนำมาวิเคราะห์กรณีศึกษาที่กำลังขับเท่ากับท่อผิวเรียบ และที่ค่าการไหลเดียวกัน พบว่าการติดตั้งวงแหวน 5 เหลี่ยม ที่มีค่า BR = 0.20 ค่าตัวประกอบเพิ่มการถ่ายเท ความร้อนมีค่าลดลงเมื่อเลขเรย์โนลด์เพิ่มขึ้น โดยในทุกกรณีที่ใช้วงแหวน 5 เหลี่ยมสามารถเพิ่มตัวประกอบเพิ่มการถ่ายเทความร้อนสูงกว่าท่อผิวเรียบทุกกรณี (ในทุกกรณีที่มีค่ามากกว่า 1) โดยที่อัตราส่วนระยะพิตซ์ 2.0 จะมีค่าตัวประกอบเพิ่มการถ่ายเทความร้อนมากที่สุดถึง 1.46 เมื่อเทียบกับกรณีท่อผิวเรียบ ที่ค่าเลขเรย์โนลด์ต่ำ ทั้งนี้เนื่องจากที่อัตราส่วนระยะพิตซ์น้อยสามารถเพิ่มการถ่ายเทความร้อนได้มากกว่าการเพิ่มของตัวประกอบเสียดทาน โดยที่ PR=0.75 จะสามารถเพิ่มอัตราการถ่ายเทความร้อนให้สูงขึ้นมากถึง 3.9 - 4.6 เท่า แต่ก็ส่งผลให้ค่าตัวประกอบเสียดทานเพิ่มขึ้นมากเช่นกันเนื่องจากจำนวนของวงแหวนอาจจะมีมากเกินไปทำให้มีการต้านการไหลมากเกินไปทำให้ค่าการเพิ่มการถ่ายเทความร้อนเพิ่มขึ้นไม่มากเมื่อเทียบกับค่า PR อื่นๆ



รูปที่ 10 ความสัมพันธ์ระหว่างเลขเรย์โนลด์กับตัวประกอบเพิ่มการถ่ายเทความร้อน

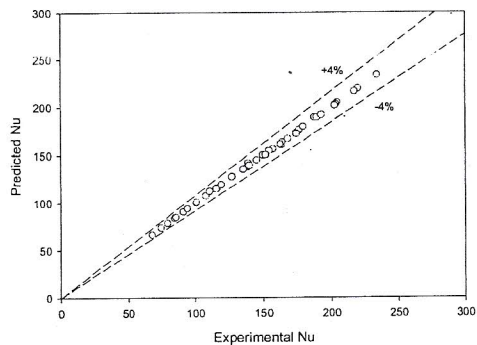
4.5 สหสัมพันธ์ของวงแหวน 5 เหลี่ยม

สำหรับวงแหวน 5 เหลี่ยมเอียงมุม 45° และมีอัตราส่วนการต้าน 0.20 พบว่าเลขนัสเซลท์มีความสัมพันธ์กับเลขเรย์โนลด์ เลขพรานท์ (Prandtl Number) และอัตราส่วนระยะพิตซ์ ได้ตั้งสมการที่ (11) ซึ่งมีค่าความคลาดเคลื่อนที่ ±4% และแสดงในรูปที่ 11 ส่วนสหสัมพันธ์สำหรับตัวประกอบเสียดทานมีความสัมพันธ์กับเลขเรย์โนลด์ และอัตราส่วนระยะพิตซ์ เขียนได้ตั้งสมการที่ (12) มีความคลาดเคลื่อนที่ ±5% และแสดงในรูปที่ 12

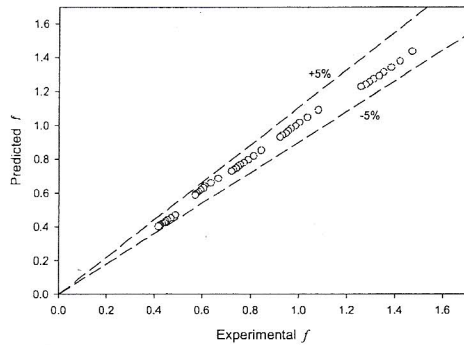
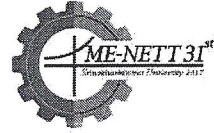
$$Nu = 0.848 Re^{0.604} Pr^{0.4} (PR + 1)^{-0.586} \quad (11)$$

สหสัมพันธ์ของตัวประกอบเสียดทาน

$$f = 10.557 Re^{-0.098} PR^{-2.065} \quad (12)$$



รูปที่ 11 ข้อมูลเลขนัสเซลท์จากการทดลองและจากสมการสหสัมพันธ์



รูปที่ 12 ข้อมูลตัวประกอบเสียดทานจากการทดลองและจากสมการสหสัมพันธ์

5. สรุปผลการทดลอง

จากการศึกษาวิจัยพบว่า การใส่วงแหวน 5 เหลี่ยมวางเอียงเข้าไปในท่อเครื่องแลกเปลี่ยนความร้อน สามารถเพิ่มประสิทธิภาพการถ่ายเทความร้อนให้สูงขึ้นได้ ซึ่งวงแหวนนี้ช่วยให้เกิดการไหลแบบวอร์เทกซ์แนวยาว (longitudinal vortex) ด้านหลังของวงแหวน ซึ่งจะเป็นการรบกวนชั้นขีดผิวความร้อนของการไหล ส่งผลให้เลขนัสเซลล์มีค่าสูงขึ้นโดยวงแหวน 5 เหลี่ยมเอียงที่มีมุมปะทะการไหล $\alpha = 45^\circ$ และมีอัตราส่วนการขวางการไหล, $BR = 0.20$ โดยที่อัตราส่วนระยะพิชชี่น้อยจะเพิ่มค่าการถ่ายเทความร้อนได้สูงขึ้นมากประมาณ 3.9 - 4.6 เท่าเมื่อเปรียบเทียบกับท่อผิวเรียบ แต่ก็ส่งผลให้มีตัวประกอบเสียดทานเพิ่มขึ้นด้วยเช่นกัน และเมื่อพิจารณาประสิทธิภาพของการถ่ายเทความร้อนโดยพิจารณาในรูปของตัวประกอบประสิทธิภาพการถ่ายเทความร้อน พบว่าวงแหวน 5 เหลี่ยมวางเอียงสามารถเพิ่มการถ่ายเทความร้อนได้ในทุกช่วงของเลขเรย์โนลด์ โดยเฉพาะในช่วงที่มีค่าเลขเรย์โนลด์ต่ำจะให้ค่าตัวประกอบประสิทธิภาพการถ่ายเทความร้อนที่สูงที่สุด ซึ่งสามารถนำไปประยุกต์ใช้กับเครื่องแลกเปลี่ยนความร้อนได้

6. กิตติกรรมประกาศ

ขอขอบคุณมหาวิทยาลัยราชภัฏราชนครินทร์และมหาวิทยาลัยราชภัฏเทพสตรี ที่สนับสนุนงบประมาณในการดำเนินการงานวิจัยนี้รวมทั้งทุนในการนำเสนอผลงานวิจัย และขอขอบคุณภาควิชาวิศวกรรมเครื่องกล สถาบันเทคโนโลยีพระจอมเกล้าเจ้าคุณทหารลาดกระบัง ที่อนุเคราะห์สถานที่ในการทดลองงานวิจัยนี้

7. เอกสารอ้างอิง

- [1] Han, J.C., Glicksman, L.R. and Rohsenow, W.M. (1978). An investigation of heat transfer and friction for rib-roughened surfaces. *Int. J. Heat Mass Transfer*, vol. 21, pp. 1143-1156.
- [2] Wojtkowiak, J., and Hyun, J.M. (2000). Flow and heat transfer in pipe containing a coaxially-rotating disk. *Fluid Dynamics Research*, vol.26, pp. 377-391.
- [3] Promvongse, P., and Eiamsa-ard, S. (2006). Heat transfer enhancement in a tube with combined conical-nozzle inserts and swirl generator. *Energy Conversion and Management*, vol. 47, pp. 2867-2882.
- [4] Promvongse P., Koolnapadol N., Pimsarn M. and Thianpong, C. (2014). Thermal performance enhancement in a heat exchanger tube fitted with inclined vortex rings. *Applied Thermal Engineering*. Vol.62, pp. 285-292.
- [5] Chingtuaythong, W., Promvongse, P., Thianpong, C. and Pimsarn, M. (2017). Heat transfer characterization in a tubular heat exchanger with V-shaped rings. *Applied Thermal Engineering*. Vol.110, pp. 1164-1171.
- [6] Suwannapan, S. Chompookham, T. Tamna, S. Skullong, S. Thianpong, C. and Promvongse,



P. (2012). Augmented Heat Transfer in Square Channel with 45° Inline Baffles, International Conference on Green and Sustainable Innovation, Chiang Mai, Thailand.

[7] Chokphoemphun, S., Chompookham, T., Skullong, S. and Promvong, P. (2012). Heat Transfer in Solar Air Heater Channel with Inline 45° Wavy-Ribs, International Conference on Green and Sustainable Innovation, Chiang Mai, Thailand.

[8] Webb, R.L. (1994). Principles of Enhanced Heat Transfer. John Wiley & Sons, New York.

[9] Incropera, F. and Dewitt, P.D. (1996). Introduction to Heat Transfer. 3rd edition, John Wiley & Sons Inc.